

(c) 1994 г.

ЭЛЕКТРОФИЗИЧЕСКИЕ СВОЙСТВА ПЛЕНОК СУЛЬФИДА СВИНЦА, ПОДВЕРГНУТЫХ РАДИАЦИОННЫМ ВОЗДЕЙСТВИЯМ

Р.Ф. Зайкина, С.П. Зимин, Ш.Ш. Сарсембиноев, Л.В. Бочкарёва

Ярославский государственный университет,
150000, Ярославль, Россия

(Получена 14 января 1993 г. Принята к печати 10 мая 1994 г.)

Проведено исследование электрических свойств пленок сульфида свинца с различными легирующими элементами, подвергнутых облучению высокозенергетическими электронами с энергией 4 МэВ и ионами бора с энергией 50 кэВ. Слои сульфида свинца были выращены методом молекулярно-лучевой эпитаксии и содержали примесь натрия или кислорода. Из анализа температурных и дозовых зависимостей концентрации и подвижности носителей заряда вытекает, что присутствие в исходном материале даже небольших количеств легирующей примеси может существенно влиять на электрофизические параметры облученных пленок. Показана перспективность радиационных технологий для получения сильно компенсированных пленок сульфида свинца.

В последнее время для изготовления фотодиодных структур на основе узкозонных полупроводников наряду с традиционными методами широкое распространение получили методы радиационной технологии. Они основаны на использовании ионизирующего излучения или имплантации ионов в качестве эффективного способа легирования за счет введения электрически активных примесей и дефектов [1,2]. При изучении электрофизическими свойств узкозонных полупроводников, подвергнутых воздействию ионизирующих излучений, было установлено, что скорость введения радиационных дефектов зависит как от исходного стехиометрического состава материала, так и от сорта легирующей добавки [2-4].

В настоящей работе представлены результаты исследований электрофизических параметров пленок сульфида свинца с различными легирующими элементами, подвергнутых облучению потоками высокозенергетических электронов с энергией 4 МэВ и ионов бора с энергией 50 кэВ. Исходные слои сульфида свинца были выращены методом молекулярно-лучевой эпитаксии на подложках BaF_2 с ориентацией (111) и содержали примеси Na_2S (0.5-2%), PbO (0.5-2%). Некоторые свойства необлученных пленок $\text{PbS}(\text{Na})$, $\text{PbS}(\text{O})$ описаны в работах

[^{5,6}]. Слои имели проводимость *p*-типа с концентрацией дырок при 77 К ($3 \cdot 10^{17}$ – $3 \cdot 10^{18}$) см⁻³. Дополнительные исследования проводились на пленках PbS(O) электронного типа проводимости с концентрацией электронов $n \approx 10^{18}$ см⁻³. Среди пленок сульфида свинца с кислородом для облучения отбирались образцы, в которых эффект сильной компенсации отсутствовал. Слои имели монокристаллическую структуру, за исключением сульфида свинца с большим содержанием кислорода, когда пленки обладали зернистой структурой с характерным размером зерна сферической формы 0.2–0.5 мкм. Толщина пленок составляла 1.1–1.2 мкм. Облучение электронами и ионами бора проводилось при комнатной температуре потоками $\Phi_e = 10^{16}$ – 10^{18} см⁻² и $\Phi_B = 5 \cdot 10^{13}$ – $5 \cdot 10^{16}$ см⁻² соответственно. Постимплантационный отжиг образцов проводился в вакууме при температуре 580 К.

На рис. 1 приведены типичные зависимости коэффициента Холла R_H от температуры для пленок PbS(Na) и PbS(O) после электронного облучения. При значении потока электронов $\Phi_e \approx 3 \cdot 10^{17}$ см⁻² концентрация дырок в пленках PbS(Na) при 77 К уменьшалась до уровня (10^{15} – 10^{16}) см⁻³ и изменение коэффициента Холла с температурой носило активационный характер (кривая 1). Проведение вакуумного отжига приводило к увеличению концентрации дырок и коэффициент Холла практически не изменялся в температурном интервале 77–300 К (кривая 2). Аналогичные результаты наблюдались и для облученных электронами пленок PbS(O) (кривая 3), однако при проведении пост-

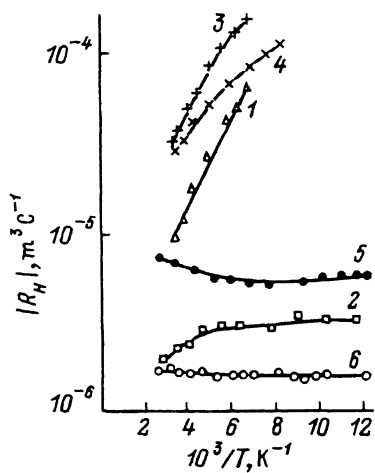


Рис. 1. Температурные зависимости коэффициента Холла для образцов PbS, облученных потоком электронов с дозами Φ_e , см⁻²: 1, 2 — $3 \cdot 10^{17}$, 3, 4 — $4.7 \cdot 10^{17}$, 5 — $7 \cdot 10^{17}$, 6 — $8.4 \cdot 10^{17}$. Образцы 3, 4 легированы кислородом, остальные — натрием. Образцы 2 и 4 — после термического отжига.

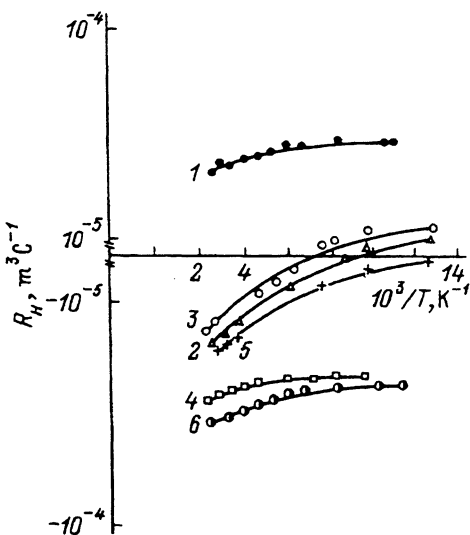


Рис. 2. Температурные зависимости коэффициента Холла для пленок PbS(Na) после облучения ионами бора, Φ_B , см⁻²: 1 — 0, 2–5 — 10^{15} , 6 — 10^{16} . Уровень легирования Na, %: 4, 5 — 1; 2, 3, 6 — 2. Образцы 3 и 5 — после термического отжига.

имплантационного отжига сохранялся активационный характер зависимости $R_H(T)$. Низкие концентрации дырок могут быть объяснены в рамках эффекта компенсации, возникающего при введении радиационных дефектов донорного типа при электронном облучении. Подобные активационные зависимости $R_H(T)$ наблюдались в сильно компенсированных образцах халькогенидов свинца в работах [5,7,8].

Типичные температурные зависимости коэффициента Холла для исследуемых пленок с толщинами более 0.8 мкм после облучения ионаами бора на примере слоев PbS(Na) показаны на рис. 2. Как следует из приведенных зависимостей, наблюдается низкотемпературная инверсия знака коэффициента Холла, типичная для неоднородных двухслойных структур [9]. Поскольку глубина проникновения ионов бора меньше толщины пленки, происходит образование инверсного или обедненного поверхностного слоя в пленке *p*-типа проводимости. Оценка величины концентрации носителей в поверхностном слое в рамках двухслойной модели Петрича показала, что концентрация электронов и дырок при 77 К может достигать $(10^{14} - 10^{16}) \text{ см}^{-3}$. Проведение дополнительных исследований по ионному облучению тонких пленок PbS(Na) с толщиной 0.1 мкм и с исходной концентрацией дырок при азотной температуре $2 \cdot 10^{18} \text{ см}^{-3}$ свидетельствовало о том, что при флюенсе ионов бора $\Phi_B = 5 \cdot 10^{14} - 10^{16} \text{ см}^{-2}$ пленки PbS(Na, B⁺) действительно являлись сильно компенсированными с минимальной концентрацией носителей на уровне 10^{14} см^{-3} . Температурные зависимости коэффициента Холла и электропроводности таких пленок имели активационный характер с энергиями активации (90–180) МэВ. Частичный отжиг радиационных дефектов при 100°C в течение 1 ч приводил к тому, что

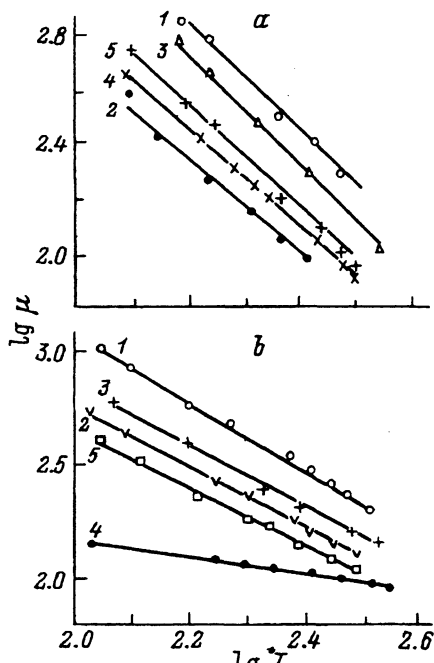


Рис. 3. Температурная зависимость подвижности носителей заряда (в $\text{см}^2/\text{В}\cdot\text{с}$) для облученных пленок сульфида свинца.
a — облучение пленок PbS(Na) электронами дозами Φ_e , см^{-2} : 1, 2 — $3 \cdot 10^{17}$, 3 — $4.7 \cdot 10^{17}$, 4, 5 — $6.4 \cdot 10^{17}$. Образцы 2, 5 — после отжига;
b — облучение пленок PbS(A) ионами бора; тип примеси А и уровень легирования: 1 — Na, 1%; 2 — Na, 1%; 3 — Na, 2%; 4, 5 — O, 0.5%. Кривые 1, 3, 5 — для пленок после отжига.

область доз, при которых наблюдалось явление сильной компенсации, смещалась в сторону больших значений $\Phi_B = (10^{15} - 5 \cdot 10^{16}) \text{ см}^{-2}$.

На рис. 3 показаны температурные зависимости подвижности носителей заряда μ для пленок PbS(Na), PbS(O) после облучения электронами и ионами бора. Из рис. 3,а следует, что заметное влияние на величину подвижности носителей оказывает как исходный состав пленок, так и доза электронного облучения. Однако при этом для всех образцов в интервале температур (100–400) К наблюдается степенной закон $\mu \sim T^{-\nu}$ со значениями $\nu \approx 2.0$. Для образцов, подвергнутых облучению ионами бора, степенной закон изменения подвижности с температурой сохранялся, однако показатель степени ν уменьшился и составлял 1.3–1.5 для слоев PbS(Na, B⁺) и 0.5 для PbS(O, B⁺). Постимплантационный отжиг при 580 К не изменял значений ν для имплантированных бором пленок сульфида свинца с примесью натрия и приводил к увеличению ν до значения 1.3 для имплантированных бором пленок сульфида свинца с примесью кислорода. Меньшие значения показателя степени в температурной зависимости подвижности носителей для образцов после облучения ионами означают, что в этом случае существенный вклад в рассеяние вносит рассеяние на дефектах структуры. В качестве таких дефектов могут выступать ионы имплантированной примеси, структурные дефекты дислокационного типа и т.д. Об этом свидетельствует и анализ концентрационной зависимости подвижности электронов в образцах PbS(Na B⁺), когда при 77 К для концентраций электронов n больше 10^{18} см^{-3} выполняется соотношение $\mu \sim n^{-4/3}$, что соответствует низкотемпературному рассеянию электронов на ионизованных донорах.

Некоторые дозовые зависимости концентрации и подвижности носителей заряда в пленках сульфида свинца, облученных электронами и ионами бора, приведены на рис. 4 и 5. Вид кривых хорошо согласуется с аналогичными экспериментальными зависимостями, полученными

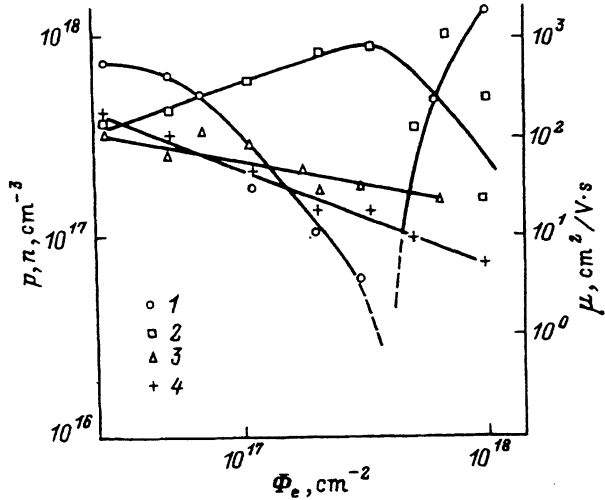


Рис. 4. Дозовые зависимости концентрации (1,2) и подвижности (3,4) носителей заряда при 300 К при электронном облучении: 1,3 — p-PbS(Na); 2,4 — n-PbS(O).

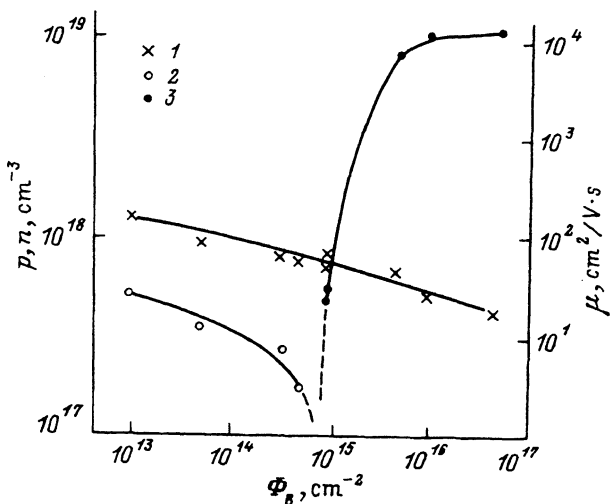


Рис. 5. Дозовые зависимости подвижности (1) и концентрации (2,3) носителей заряда при 300 К в образцах PbS(Na) после бомбардировки ионами бора: 2 — до инверсии, 3 — после инверсии типа проводимости.

для облученных ионами пленок PbTe и $Pb_{1-x}Sn_xTe$ [1], и укладывается в общие представления радиационных изменений электрических свойств узкозонных твердых растворов халькогенидов свинца — уменьшение дырочной проводимости и рост электронной проводимости с увеличением дозы облучения, наблюдаемые независимо от вида воздействующей радиации [1]. В то же время нами обнаружена зависимость скорости радиационных изменений электрических параметров пленок сульфида свинца от исходного состава изучаемых пленок при разных видах облучения. Для слоев разного состава рост электронной проводимости и инверсия наблюдаются при разных дозах электронного и ионного облучений. Насыщения концентрации электронов при больших дозах облучения, наблюдавшегося для имплантированных бором образцов сульфида свинца с натрием (рис. 5, кривая 3), в случае электронного облучения обнаружить не удалось даже при сравнительно высоких значениях Φ_e . Более того, при увеличении флюенса электронов $\Phi_e > 5 \cdot 10^{17} \text{ см}^{-2}$ в дозовой зависимости наблюдается сильный разброс экспериментальных данных (рис. 4, кривая 2) и отклонение от линейного характера зависимости. Полученные результаты указывают на то, что скорость введения радиационных дефектов, определяющих наблюдаемые изменения свойств, существенным образом зависит от исходных параметров исследуемых слоев. Присутствие в сульфиде свинца легирующих добавок различного сорта создает разные условия для радиационного дефектообразования, ускоряя или замедляя скорость введения дефектов за счет различных условий протекания рекомбинационных процессов и неодинаковой активности ловушек для точечных дефектов.

Таким образом, проведенные исследования изменения электрических свойств пленок сульфида свинца при электронном и ионном облучениях показали, что присутствие в материале пленки даже малых концентраций легирующих примесей разного сорта может существен-

но влиять на получаемые значения концентрации и подвижности носителей заряда, что имеет практическое значение при решении задачи контролируемого управления свойствами пленок сульфида свинца. Кроме того, показана перспективность радиационных технологий для получения в области низких температур сильно компенсированных пленок узкозонных полупроводников, представляющих интерес при создании фоточувствительных структур.

Авторы выражают большую признательность И.А. Дрозду за предоставленные пленки сульфида свинца и интерес к данной теме.

Список литературы

- [1] L. Palmethofer. Appl. Phys. A, **34**, 139 (1984).
- [2] G.L. Destefanis. J. Crys. Growth., **86**, 700 (1988).
- [3] E.J. Bryant, D.M. Standte. Rad. Eff., **62**, 69 (1982).
- [4] Р.Ф. Зайкина, И.А. Дрозд, И.Ш. Сарсембиноев, В.О. Сигле. Физика и химия обраб. материалов, вып. 1, 23 (1990).
- [5] О.В. Горшкова, И.А. Дрозд, В.И. Стafeев. ФТП. **26**, 510 (1992).
- [6] Л.В. Бочкарёва, О.В. Горшкова, И.А. Дрозд, С.П. Зимин, Е.Л. Корегина. Тез. докл. III Всес. конф. «Материаловедение галъюгенидных полупроводников» (Черновцы, 1991) ч. 1, с. 195.
- [7] А.Н. Вейс, В.И. Кайданов и др. ФТП, **14**, 2349 (1980).
- [8] С.П. Зимин, Е.Л. Корегина, Л.В. Бочкарёва. ФТП, **27**, 185 (1993).
- [9] М.М. Кондратенко, А.П. Лавренчук, Б.В. Орлецкий, К.Д. Товстюк, Я.И. Хухлин. Изв. вузов СССР. Физика, вып. 5, 148 (1976).

Редактор Т.А. Полянская
